# 凍土の膨張変形の利用について

㈱精研 正会員 〇姜 仁超

## 1. 研究の目的

地盤凍結工法での凍結膨張を軽減する一つの対策として、鉄筋の配置により造成凍土厚を減らす方法が考 えられる. 前報1)で、工事を行うために必要となる凍土に鉄筋配置の構造解析と設計方法を検討し、得られ た結果から鉄筋の耐荷能力が十分に利用されなかったことが分かった。このような問題点を踏まえ、鉄筋あ るいは PC 鋼材(以下"鋼材"という)で適当に凍土の膨張変形を拘束すれば、凍土部材に凍結膨張プレスト レスを導入でき,鋼材の有効利用と凍土部材の耐荷能力の増強が可能だと考えられる. そこで. 本研究では. 凍土部材に導入した凍結膨張プレストレスの解析方法について検討を行い、得られた結果を報告する。

# 2. 解析方法の概要

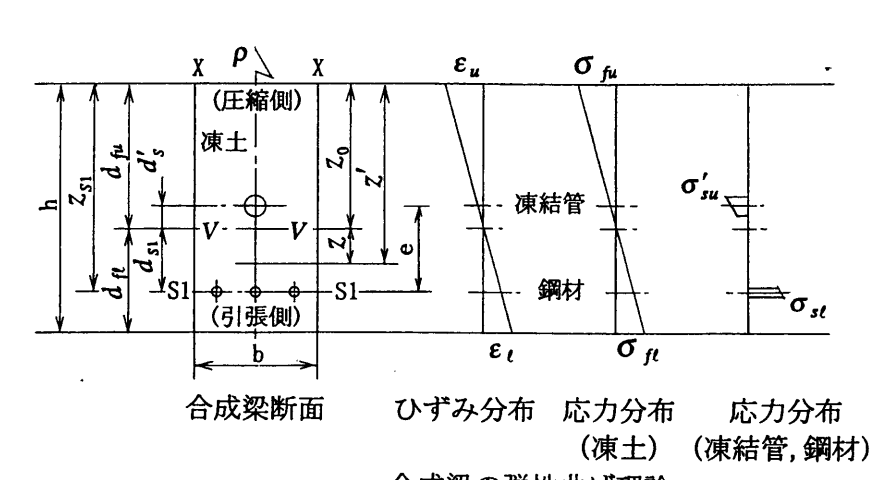
図-1に対称断面をもつ完全合成梁の軸方向に加わる荷重がないものとし,鋼材の拘束により凍結膨張プレ ストレスを導入したとき(以下,"導入後"と呼ぶ)の梁の断面仮定及び関連記号を示した.梁の軸方向に凍 結膨張プレストレスが導入されないとき(以下、"導入前"と呼ぶ)の関連記号と構造解析は、前報1)を参 照されたい.

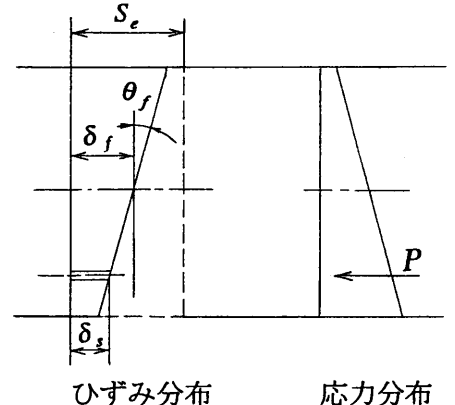
拘束のない時の凍土の膨張ひずみを $S_{\star}$ 、鋼材の凍土断面重心に対する偏心距をeとすれば、平面保持の仮 定から、鋼材の拘束によって凍土断面重心位置に生じる軸方向ひずみ $\delta_f$ 、回転角 $\theta_f$ 、鋼材の引張ひずみ $\delta_s$ 、 導入プレストレスカP,凍土断面重心軸における凍土の圧縮応力 $\sigma_{IP}$ ,鋼材引張応力 $\sigma_{SP}$  はそれぞれ式 (1) $\sim$  (6)  $\geq x \leq 2$ ).

$$\delta_f = S_{\epsilon} - \frac{P}{E_f A_f} (1 + \frac{\varphi}{2}) \qquad (1), \qquad \theta_f = \frac{P \cdot e}{E_f I_f} (1 + \frac{\varphi}{2}) \qquad (2), \qquad \delta_s = \frac{P}{E_s A_s} = \delta_f - \theta_f \cdot e \qquad (3),$$

$$P = \frac{E_s A_s}{1 + np(1 + \varphi/2)(1 + e^2/(I_f/A_f))} S_e \qquad (4), \qquad \sigma_{fP} = \frac{P}{A_f} \qquad (5), \qquad \sigma_{sP} = \frac{P}{A_s} \qquad (6).$$

ここに、 $E_f$ : 凍土のヤング率、 $E_s$ : 鋼材のヤング率、 $A_f$ : 凍土断面積、 $A_s$ : 鋼材断面積、 $I_f$ : 断面重 心軸に対する凍土断面二次モーメント、 $\phi$ :凍土のみかけのクリープ係数、 $n=E_s/E_t$ :鋼材と凍土のヤン グ率の比, $p = A_s / A_f$ :鋼材と凍土の断面積比とする.





ひずみ分布

a. 合成梁の弾性曲げ理論

図-1 凍土部材のひずみと応力

b. プレストレスの原理

キーワード 凍土, 膨張, プレストレス, 弾性, 変形

連絡先

〒112-0002 東京都文京区小石川 1-12-14 (株) 精研凍結本部 TEL03-5689-2355

### 3. 結果と考察

本解析の例では,前報¹)の解析条件と結果のもとに行った. 図-1は凍結管が1本であり,鋼材3本を梁の引張側に配置した. モデルはスパンℓ=5.0m,幅 b=0.8m の等分布荷重 p=687 kN/m²を受ける単純支持梁とする. -10℃の砂質土凍土 (表-1) ³). ⁴)の物性値を使用すると、単体凍土の厚みは3.130m が必要となる.

 $S_e$ と $\varphi$  を設定し、導入後の強度解析を行った。解析の結果から、鉄筋を使用するとしたとき、鉄筋の強度が不足することがわかったので、前報<sup>1)</sup>の D51 鉄筋の有効断面積と同じような PC 鋼材<sup>5)</sup>に変え、検討を続けた。なお、PC 鋼材の降伏点(または耐力)は 930N/mm<sup>2</sup>以上、ヤング率は 200kN/mm<sup>2</sup>とした。

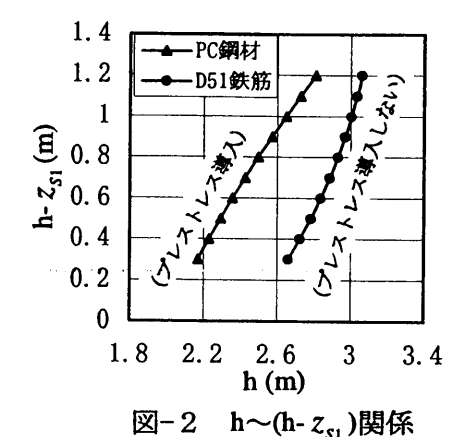
一例として、 $S_{\epsilon}$ =0.3%、 $\varphi$ =17, PC 鋼材の配置位置(h- $z_{s1}$ =0.3 $\sim$ 1.2m) ごとに、合成凍土梁の上縁(前報<sup>1)</sup> の圧縮側)応力と下縁(前報<sup>1)</sup> の引張側)応力および PC 鋼材の応力を解析し、必要な凍土厚みを求めた.合成凍土梁の厚みと PC 鋼材配置位置の関係の解析結果を図-2に示した.また、プレストレスを導入しない場合の凍土厚みと D51 鉄筋配置位置の関係<sup>1)</sup>を図-2に併記した.さらに、単体凍土と(h- $z_{s1}$ )=0.3m 場合の上記の解析結果を表-2にまとめた.応力データの下の括弧()中の数値はその応力に対する部材強度の安全率であり、[]中に応力の状態を示した.(凍土減量、m) [凍土減量、m) [凍土減量、m) [凍土減量、m) [凍土減量、m)

解析の結果,PC 鋼材に凍結膨張プレストレスを導入した場合の合成凍土梁の強度特性に関する次の基礎情報が得られた.

PC 鋼材の場合, 凍土断面上縁の圧縮安全率が 2.233 になった時,下縁の引張安全率は 3.505, PC 鋼材の引張安全率は 5.062 となったので,複合凍土構造物の厚みは凍土の曲げ圧縮強度によって決まることがわかった。また, D51 鉄筋配置した場合の凍土減量 (= (単体凍土厚一複合凍土厚) /単体凍土厚) は 14.95%にと

表-1 砂質土凍土の物性値 (塩分濃度 0%)

平均温度	設計引	<b>強度<sup>3)</sup> (</b>	ヤング率4)	
$(\mathcal{C})$	圧縮	曲げ	せん断	(kN/mm <sup>2</sup> )
-10	4.5	2.7	1.8	3.8



**3.** 

表-2 解析結果 (h-z<sub>st</sub>=0.3m, 応力の単位:N/mm²)

	鉄筋凍土1)	PC 凍土	単体凍土1)
鋼材呼び名	D51	(左と同じ	-
(公称直径 mm)	(50.8)	断面積)	
凍土厚 h(m)	2.662	2.170	3.130
(凍土減量,m)	(0.468)	(0.960)	-
〔凍土減量,%〕	(14.95)	(30.67)	-
下縁応力 $\sigma_{tt}$	1.317	0.786	1.341
(安全率)	(2.050)	(3.505)	(2.013)
[応力状態]	〔引張〕	〔引張〕	〔引張〕
上縁応力 $\sigma_{fu}$	1.612	2.055	-
(安全率),"	(2.791)	(2.233)	
〔応力状態〕	[圧縮]	〔圧縮〕	
鋼材応力 $\sigma_{s}$	56.058	183.69	-
(安全率)	(5.262)	(5.062)	
〔応力状態〕	〔引張〕	〔引張〕	
プレストレス	導入しない	導入した	-
導入の有無			

どまったが、PC 鋼材配置した場合は 30.67%になった. PC 鋼材に凍結膨張プレストレスを導入した場合は 凍土減量効果が大きい. すなわち、PC 鋼材で凍土の凍結膨張を適当に拘束できれば、凍土が薄くでき、鋼材の有効利用、凍結膨張によってもたされる影響の軽減が可能である.

#### 4. まとめ

凍土に凍結膨張プレストレスを導入すれば、以下の効果が期待できる。1. 凍土が薄くでき、凍結膨張によってもたされる影響の軽減が可能である。2. 凍土の圧縮強度の利用と鋼材の有効利用が可能となる。 謝辞 本研究の遂行にあたり、㈱精研の皆様に有益なるご助言を頂きました。ここに深く感謝申し上げます。 参考文献

- 1)姜仁超:鉄筋と凍土からなる複合構造物の設計について,第 38 回地盤工学研究発表会発表講演集,2003.
- 2) H. Muguruma: On the Expansion-Shrinkage Characteristics of Expansive Cement, Proc. of the 11th Japan Congress on Materials Research (Tokyo, 1967), 1968.
- 3)(財)日本建設機械化協会:地盤凍結工法, pp. 1-56, 1981.
- 4)上田保司他:圧縮と曲げにおける砂凍土の弾性係数の比較,雪氷学会講演予稿集,2002.
- 5) 日本規格協会: JIS ハンドブック 鉄鋼, pp. 483~495, 1179~1183, 1992.